



Оценивание плотности
вероятности методами
функции-ядра при
исследовании звездных
скоплений

А. Ф. Селезнев

Коуровская астрономическая
обсерватория УрФУ

- Поверхностная плотность числа звезд
- Пространственная плотность
- Фазовая плотность
- Функция распределения скоростей
- Функция светимости
- Функция масс
- ...

Для радиальных профилей поверхностной и пространственной плотности:

$$\mu(r) = \frac{2\pi r}{N} F(r) \quad \nu(r) = \frac{4\pi r^2}{N} f(r)$$



Непараметрические методы оценивания плотности вероятности:

- Гистограмма
- Наивный метод (naive estimator)
- Метод функции-ядра (kernel estimator)
- Метод ближайшего соседа (nearest neighbor method)
- Метод функции-ядра с переменным (адаптивным) ядром
- Разложение в ряд по ортогональным функциям
- Метод максимального правдоподобия с использованием штрафных функций (maximum penalized likelihood estimator)
- Метод оценки с помощью весовой функции

Silverman B.W. "Density estimation for statistics and data analysis" Chapman & Hall, London, 1986

Гистограмма

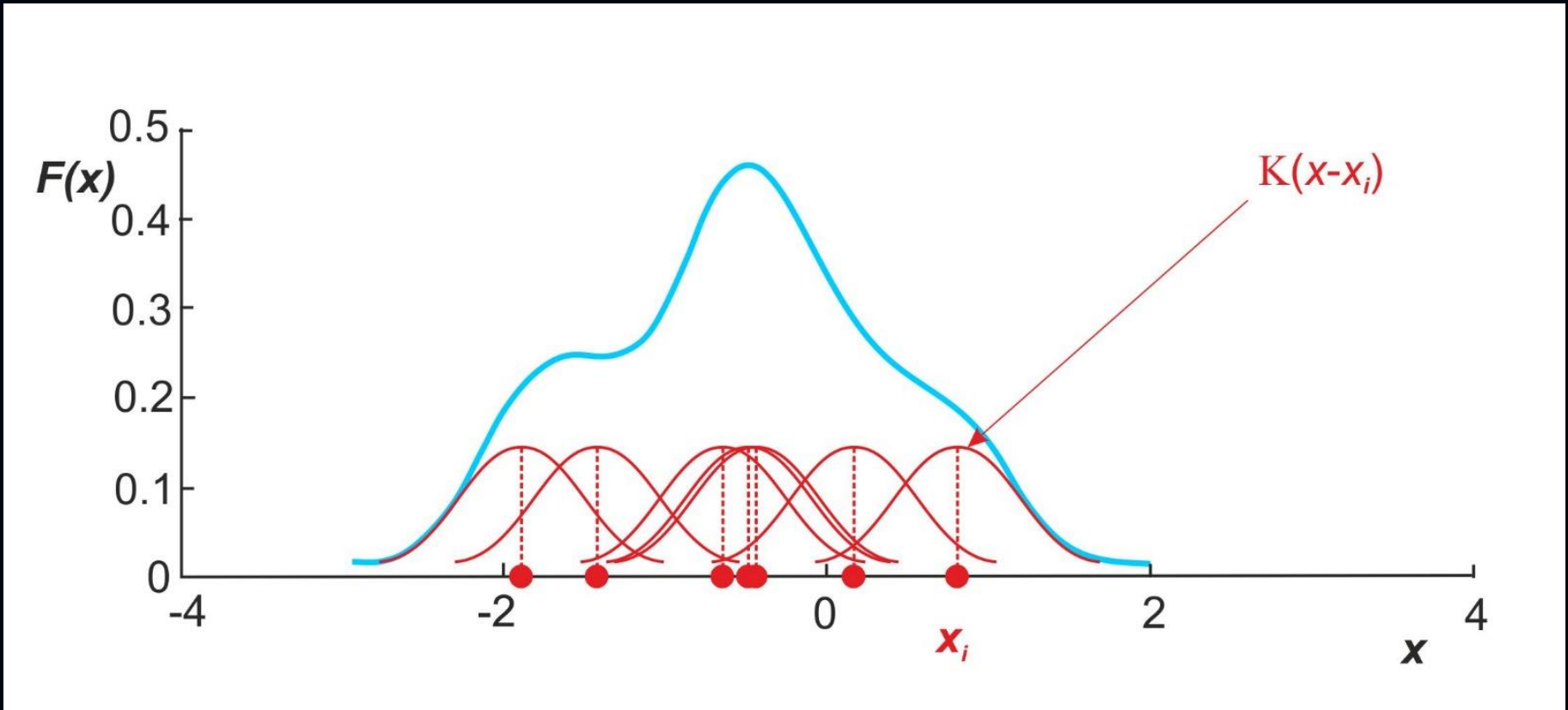
- Не является непрерывной функцией
- Зависимость от выбора начальной точки
- Ошибка интервала¹
- При определении дисперсии используется статистика Пуассона ($\sigma \sim \sqrt{N}$)^{2,3}.

$$\sigma \sim N^\alpha, \alpha = 0.89 \pm 0.04$$

1. Холопов П.Н. “Звездные скопления”, Наука, Москва, 1981
2. Василевский А.Е. “Методы звездной статистики”, Изд-во УрГУ, Свердловск, 1985
3. Danilov V.M., Matkin N.V., Pylskaya O.P., 1985, Sov. Astron., 29, 621



Метод функции-ядра (kernel estimator)



Результирующая оценка плотности вероятности наследует свойства функции-ядра (в том числе непрерывность и дифференцируемость).

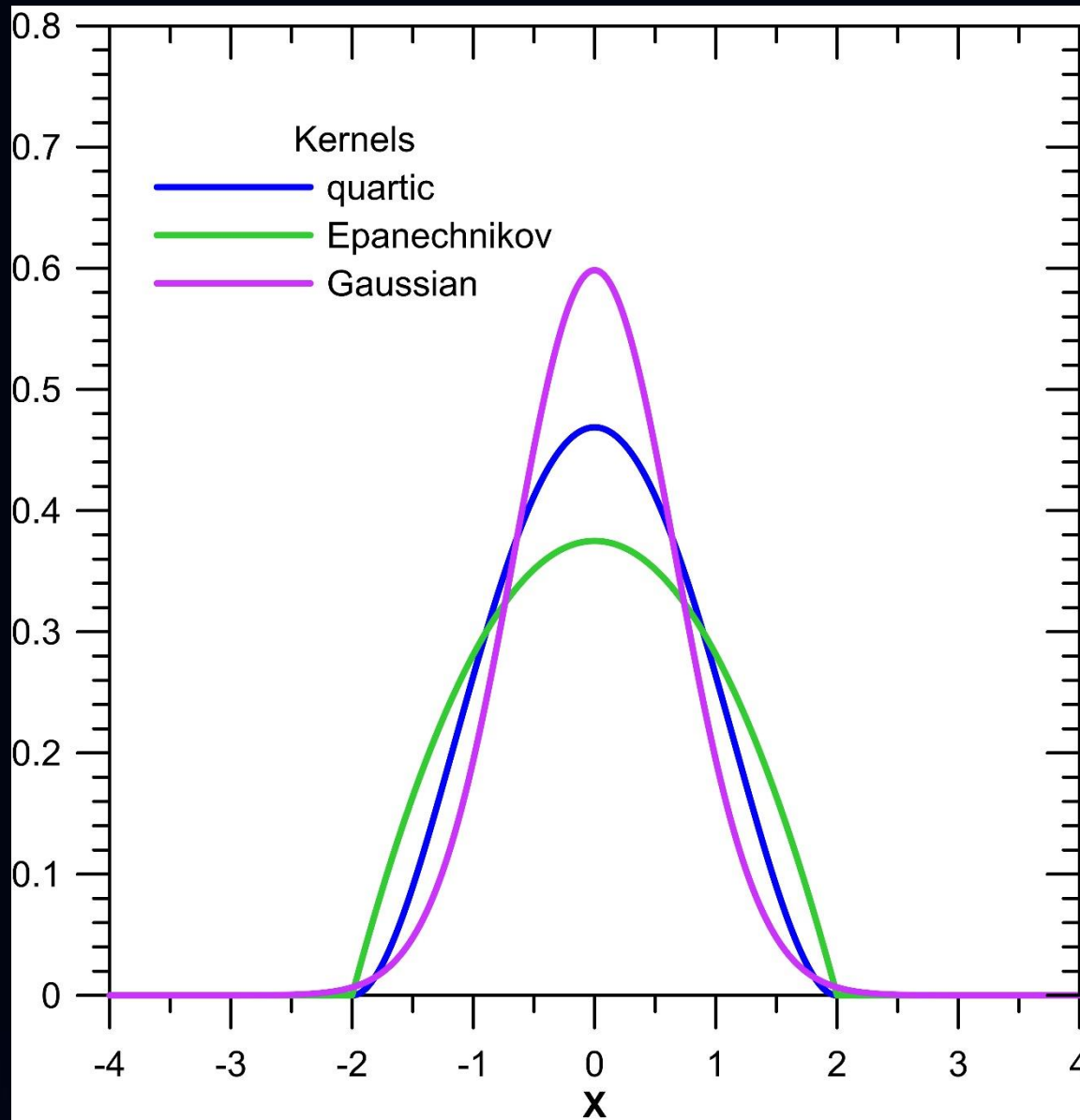
Kernels

- Epanechnikov (quadratic) kernel
$$K(x) = \begin{cases} \frac{3}{4h} \left(1 - \frac{x^2}{h^2}\right), & |x| \leq h \\ 0, & |x| > h \end{cases}$$
- Quartic kernel
$$K(x) = \begin{cases} \frac{15}{16h} \left(1 - \frac{x^2}{h^2}\right)^2, & |x| \leq h \\ 0, & |x| > h \end{cases}$$
- Gaussian kernel
$$K(x) = \frac{1}{h\sqrt{2\pi}} e^{-\frac{x^2}{2h^2}}$$

В первых двух случаях h – полуширина ядра, в третьем - полуширина приближенно равна $3h$.



Kernels

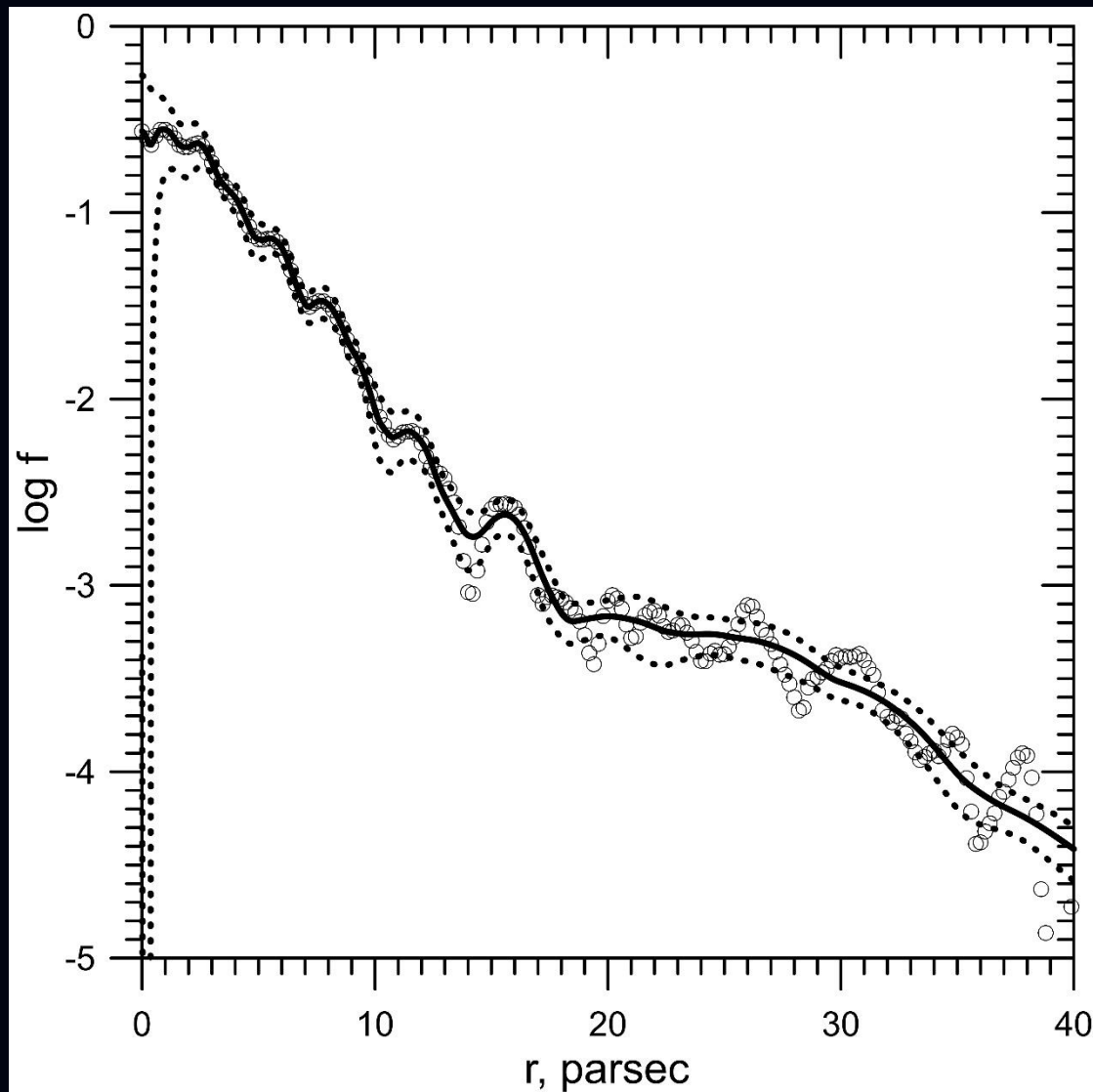


Метод адаптивного ядра

- Полуширина ядра зависит от плотности.
- На первом шаге получается пилотная оценка – с фиксированным значением полуширины.
- На втором шаге, полуширина ядра в адаптивном методе обратно пропорциональна квадратному корню из пилотного значения плотности.
- Дает значительно лучший результат в случаях, когда отсутствует фон (например, при обработке результатов численного моделирования), при наличии протяженных слабых крыльев распределения.



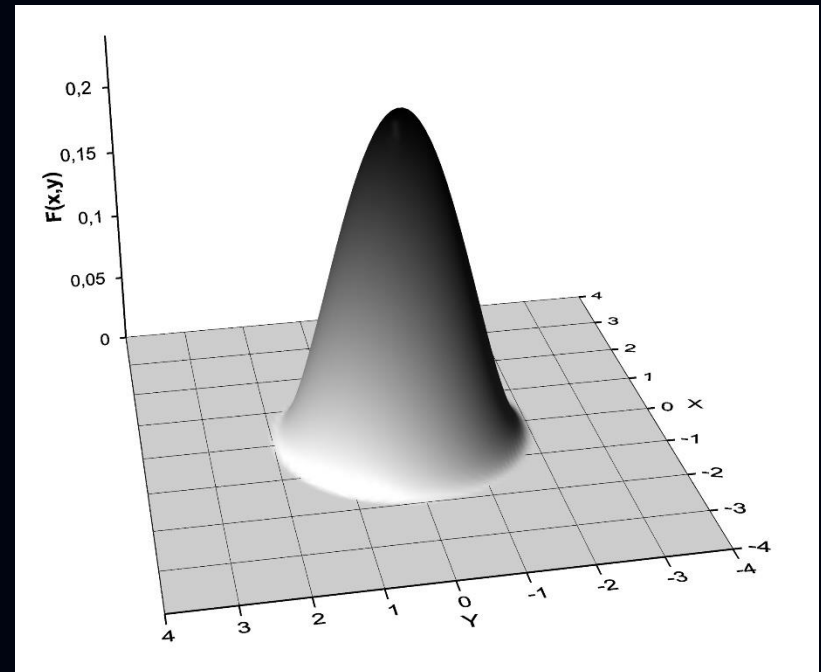
Метод адаптивного ядра



Обобщение для случая нескольких измерений

$$\hat{f}(\vec{x}) = \frac{1}{h^d} \sum_{i=1}^n K \left\{ \frac{1}{h} (\vec{x} - \vec{X}_i) \right\}$$

$$\Delta F = \begin{cases} \frac{3}{\pi h^2} \left(1 - \frac{\rho^2}{h^2} \right)^2, & |\rho| \leq h \\ 0, & |\rho| > h \end{cases}$$

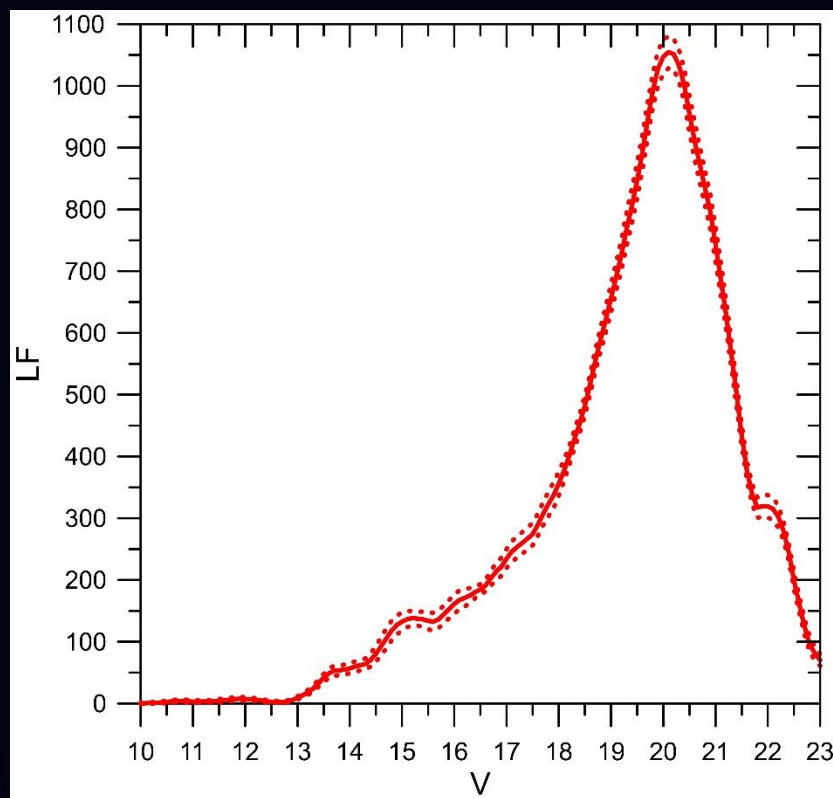


Обобщение для случая нескольких измерений

Размерность	Необходимый размер выборки
1	4
2	19
3	67
4	223
5	768
6	2790
7	10700

Размер выборки (с точностью до 3 значащих цифр), необходимый для достижения относительной среднеквадратичной ошибки 0.1 в точке $x=0$ при оценивании стандартного многомерного нормального распределения с помощью гауссова ядра и значением полуширины, которое минимизирует среднеквадратичную ошибку при $x=0$.

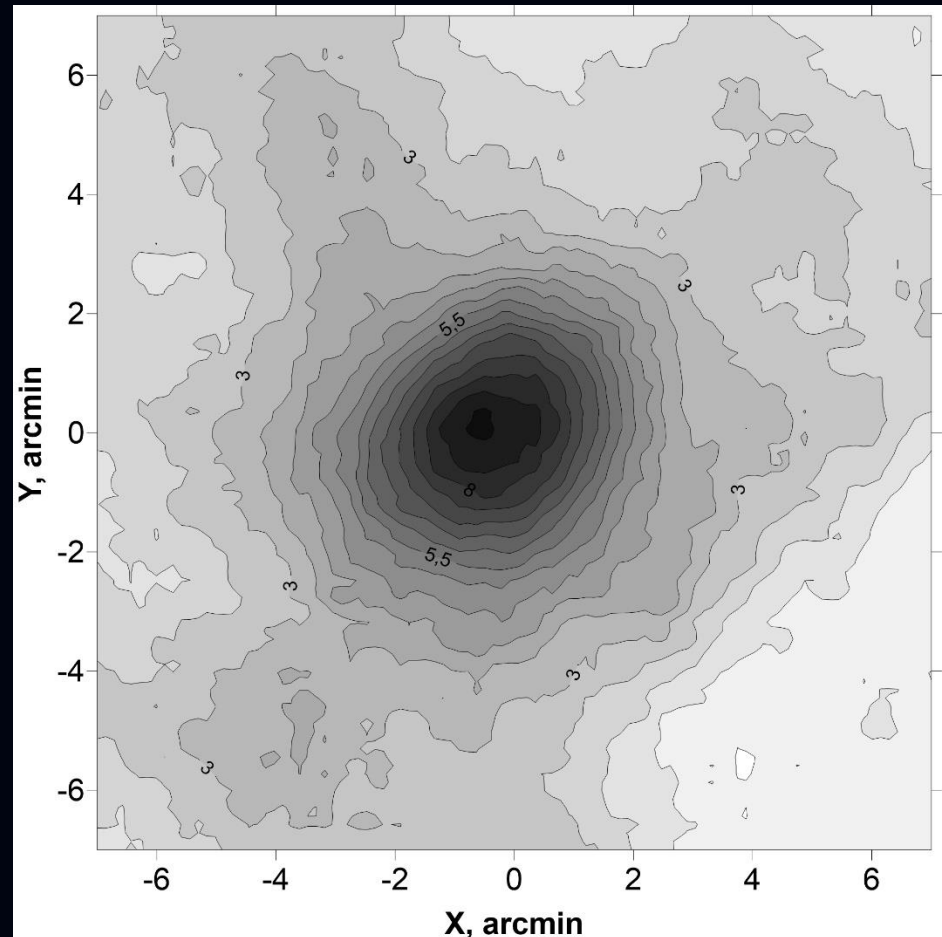
Построение доверительного интервала – smoothed bootstrap algorithm



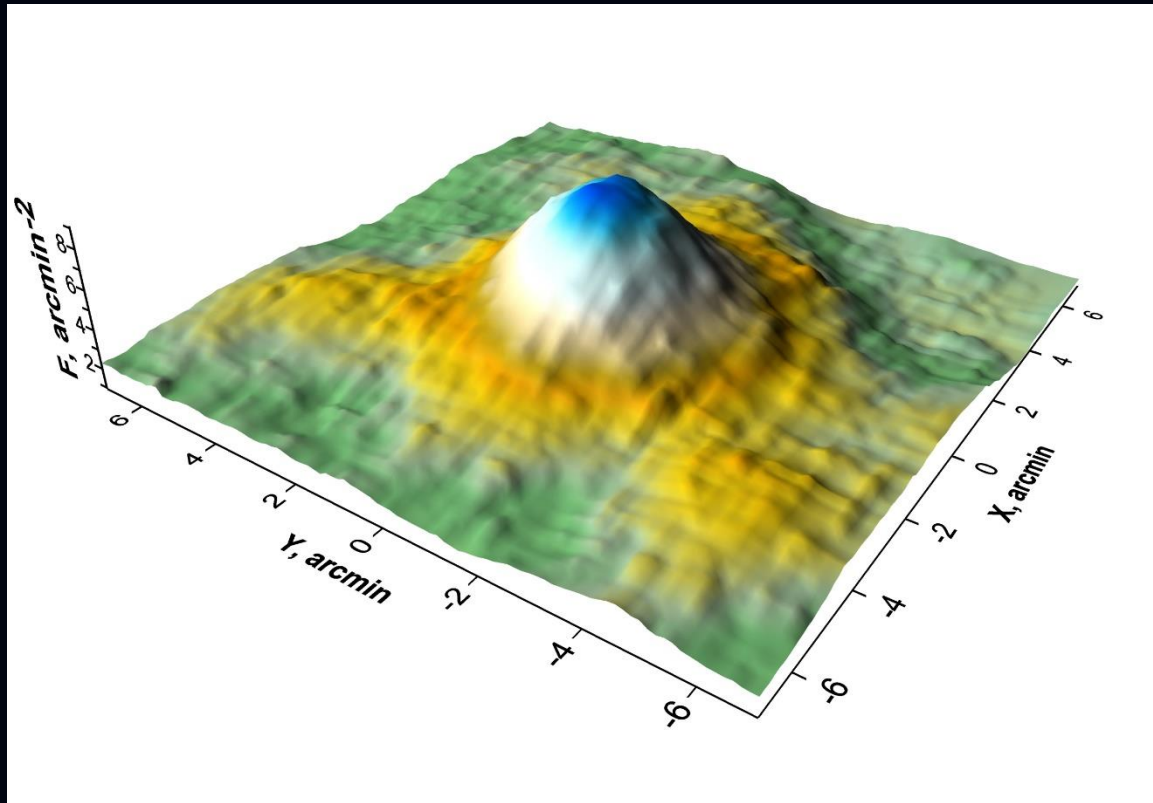
Для построения доверительного интервала были использованы 20 вторичных выборок (объем вторичной выборки должен совпадать с объемом исходной выборки). При «набрасывании» вторичной выборки используется метод Неймана. Исходная оценка аппроксимируется кубическим сплайном.

Двумерные карты распределения поверхностной плотности

Значения плотности рассчитываются на равномерной сетке координат в картинной плоскости. После этого строятся изолинии плотности или проекция 3-мерной поверхности.



Двумерные карты распределения поверхностной плотности



Необходимо отступать от границ области на величину h .

Двумерные карты распределения поверхностной плотности

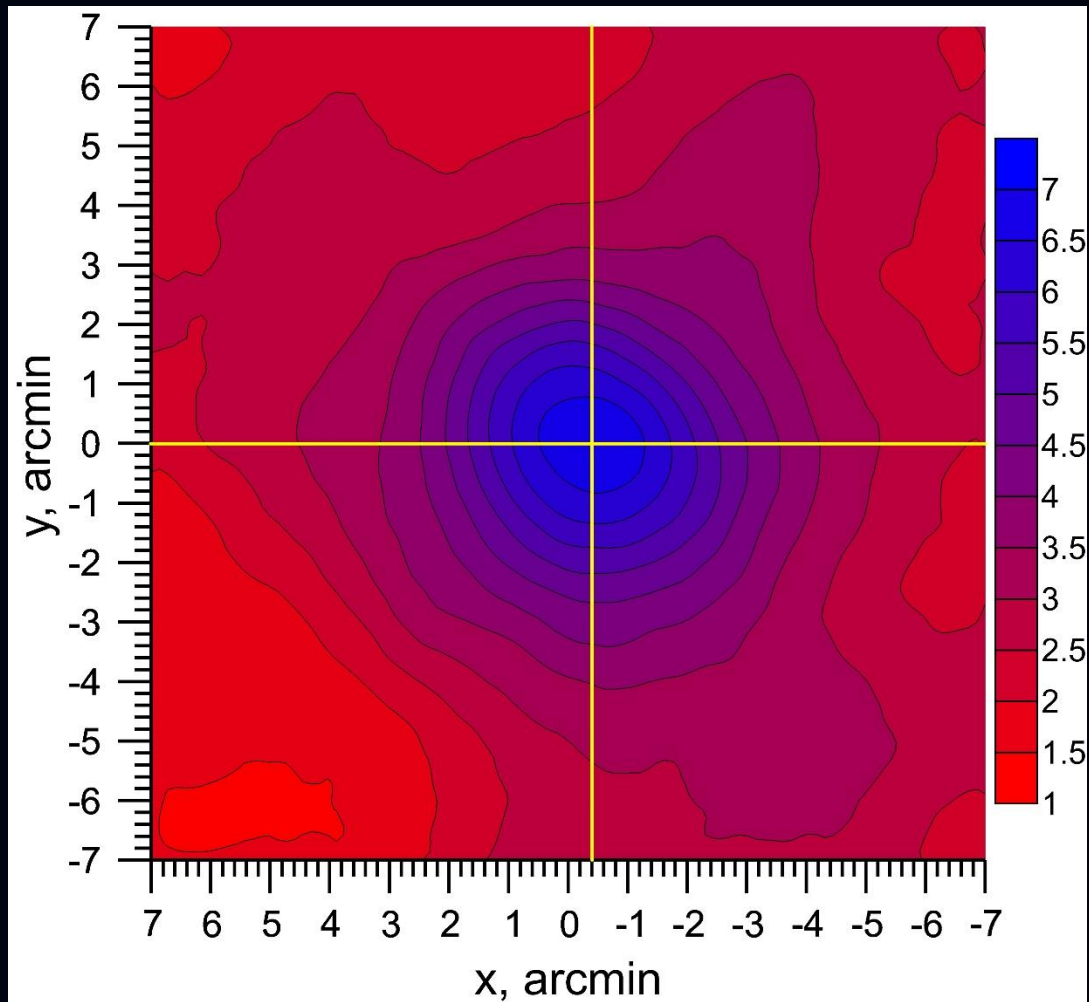
- Общее представление об изучаемой области
- Предварительная оценка размеров скопления
- Выбор областей сравнения (например, для построения функции светимости скопления)
- Определение координат центра скопления
- Изучение структуры скопления (например, исследование эллиптичности)

• ...

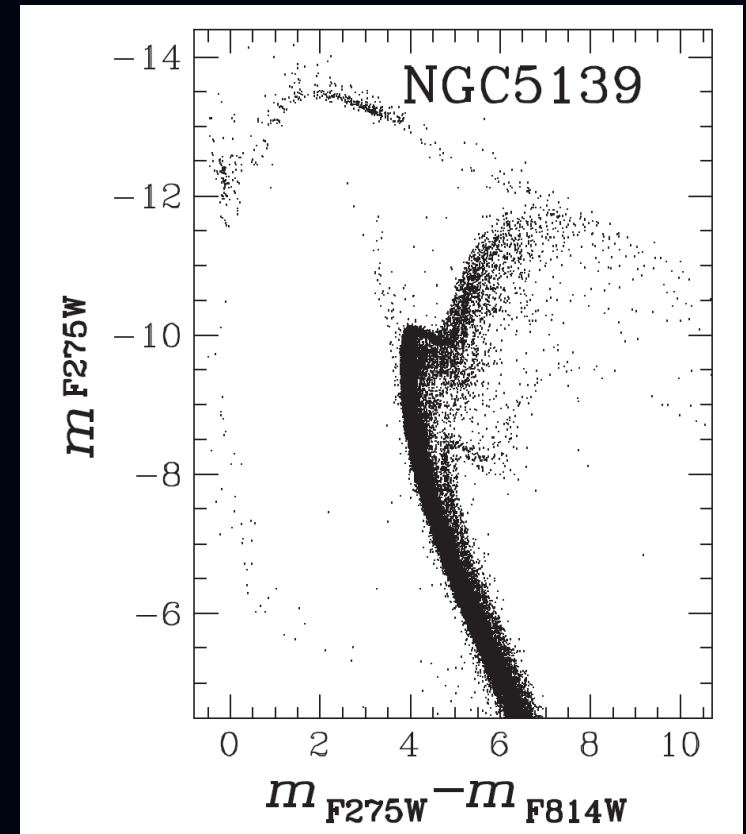
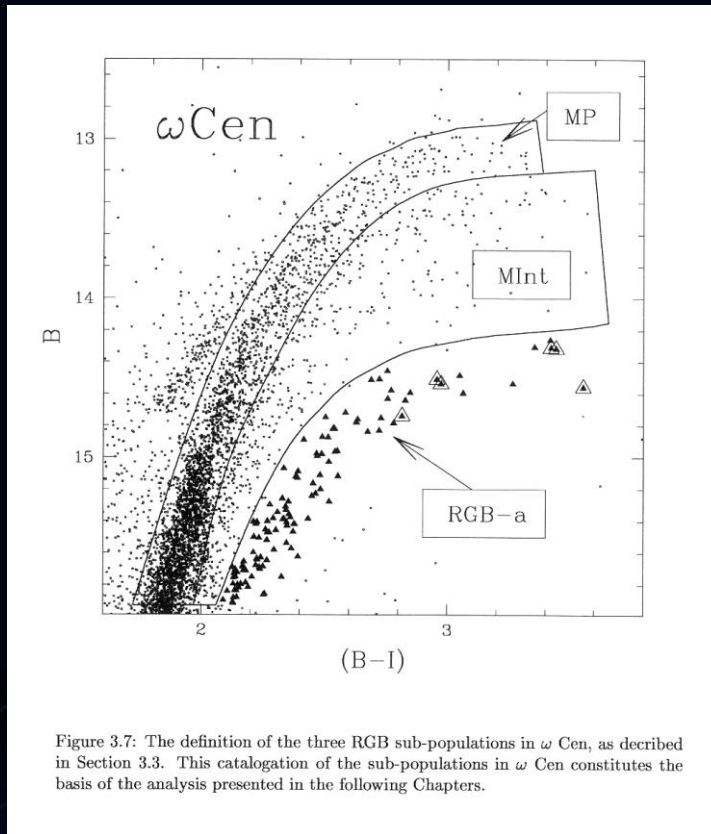


Определение координат центра скопления

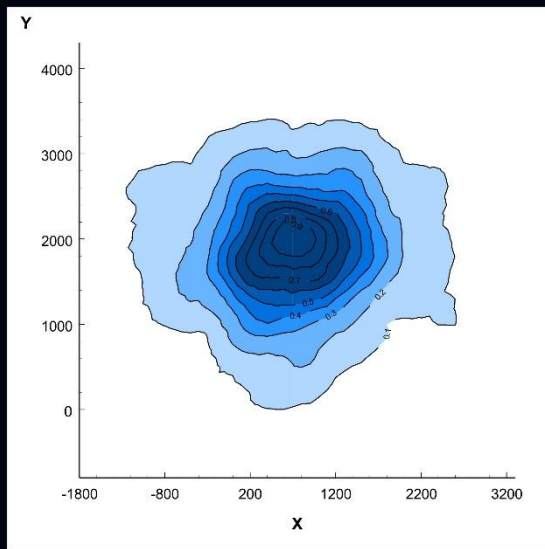
NGC 4337



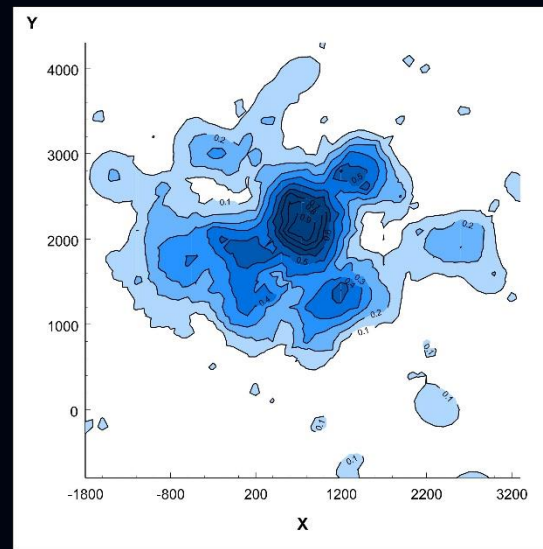
Исследование эллиптичности распределения звезд разных населений в ω Cen



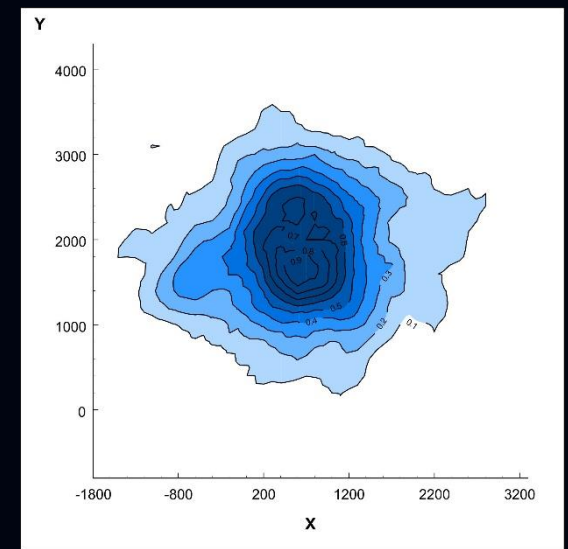
Исследование эллиптичности распределения звезд разных населений в ω Cen



metal-poor



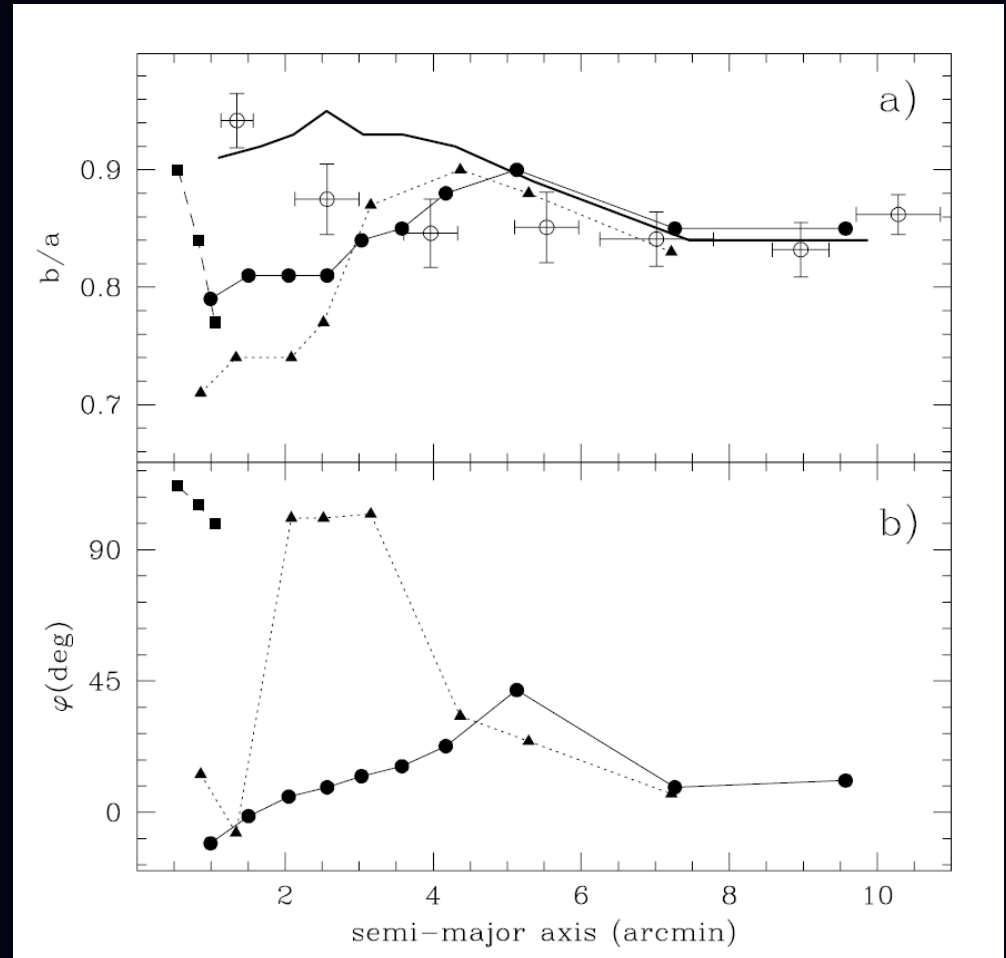
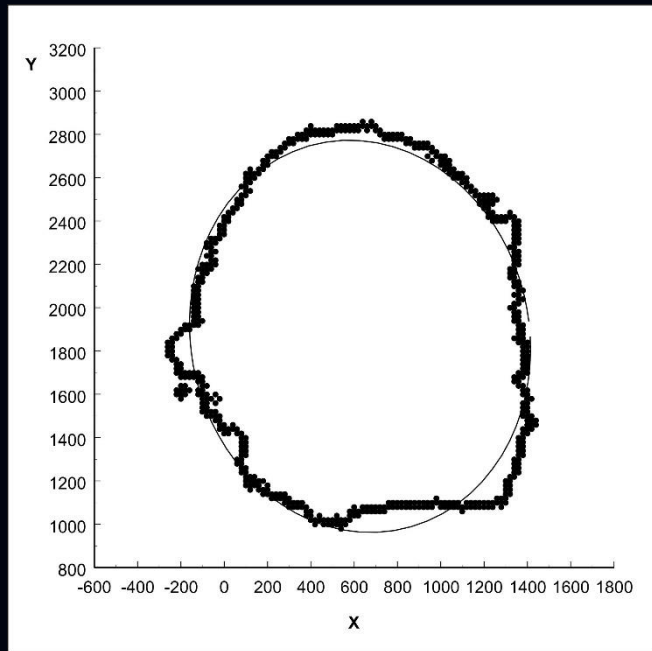
metal-rich



intermediate



Исследование эллиптичности распределения звезд разных населений в ω Cen



Профили поверхностной и пространственной плотности

Merritt D., Tremblay B., 1994, AJ, 108, 514:

- Показано, что одномерный метод функции-ядра не подходит, и требуется использование двумерного метода.
- Получены формулы для функции-ядра для случая построения радиального профиля поверхностной плотности.
- Исследована работа обоих методов (функции-ядра и максимального правдоподобия) по восстановлению профилей плотности в трех важных случаях распределений (Пламмера, де Вокулера, Кинга-Мичи).



Профили поверхностной и пространственной плотности

- Показано, что использование «оптимальной» ширины ядра, определяемой при минимизации интегральной среднеквадратичной ошибки, приводит к неудовлетворительному результату. Дается рекомендация подходить к выбору полуширины ядра h эмпирически - получать набор оценок при разных значениях h и выбирать наилучший вариант.

'...simply looking at plots produced using several different values of the smoothing parameter, and accepting the one that is as smooth as possible without being obviously biased – that is, the smoothest curve that closely follows the mean trend defined by curves computed with much smaller smoothing parameter'



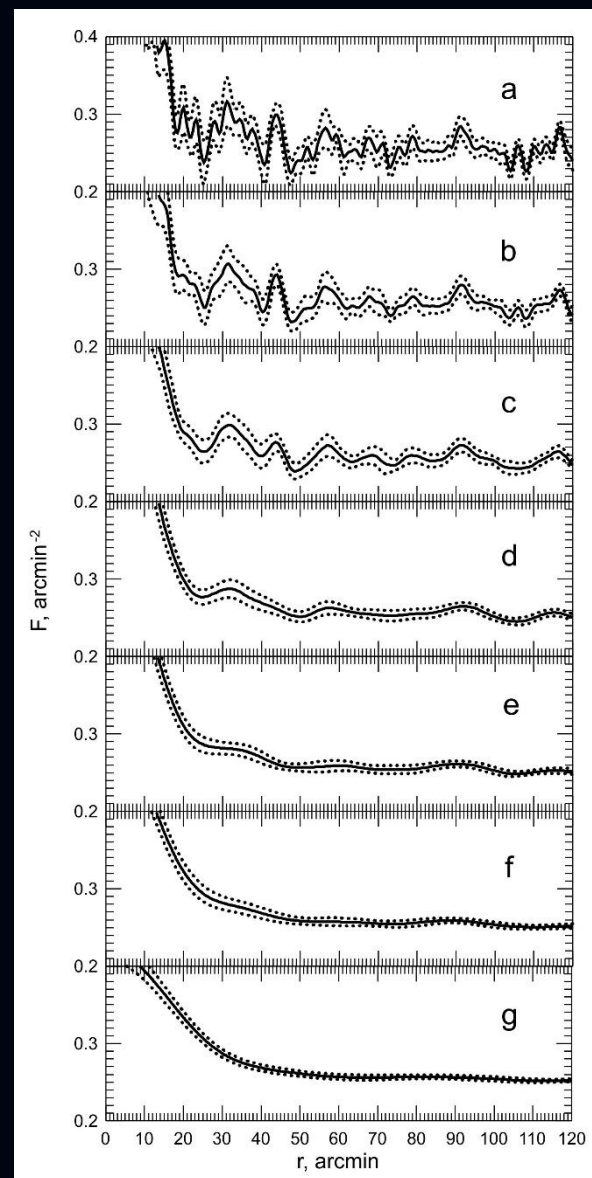
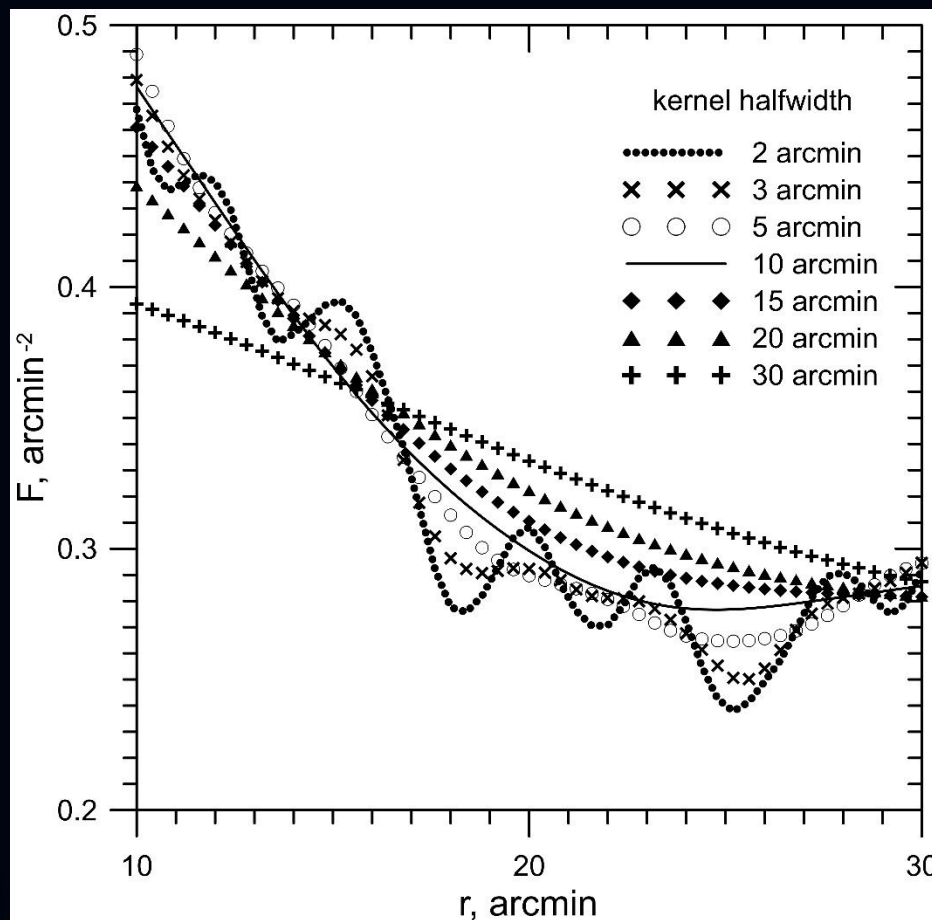
Профили поверхностной и пространственной плотности

Seleznev A.F., 2016, MNRAS, 456, 3757:

- Получены формулы для построения профиля пространственной плотности в случае, когда известны координаты звезд (x, y, z)
- Профили поверхностной плотности до разных предельных величин построены для 7 рассеянных звездных скоплений



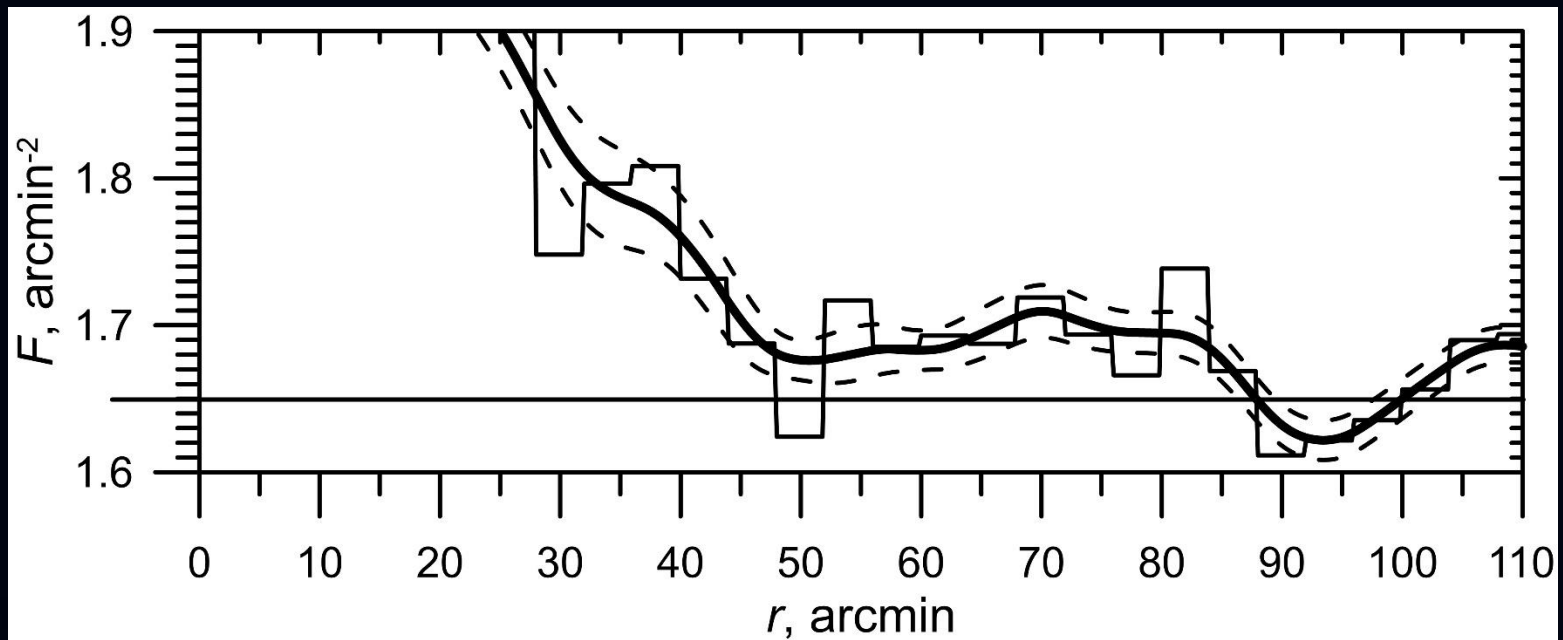
Выбор оптимальной полуширины ядра



NGC 2287, 2MASS PSC, $J_{\text{lim}} = 13^{\text{m}}$

Оценка числа звезд и массы звездного скопления

$$N = 2\pi \int_0^R F(r) r dr$$



NGC 2516, 2MASS PSC, $J_{\text{lim}} = 16^m$

Переход к пространственной плотности

$$f(r) = \frac{1}{\pi} \int_0^{\sqrt{R_c^2 - r^2}} S(\sqrt{r^2 + z^2}) dz$$

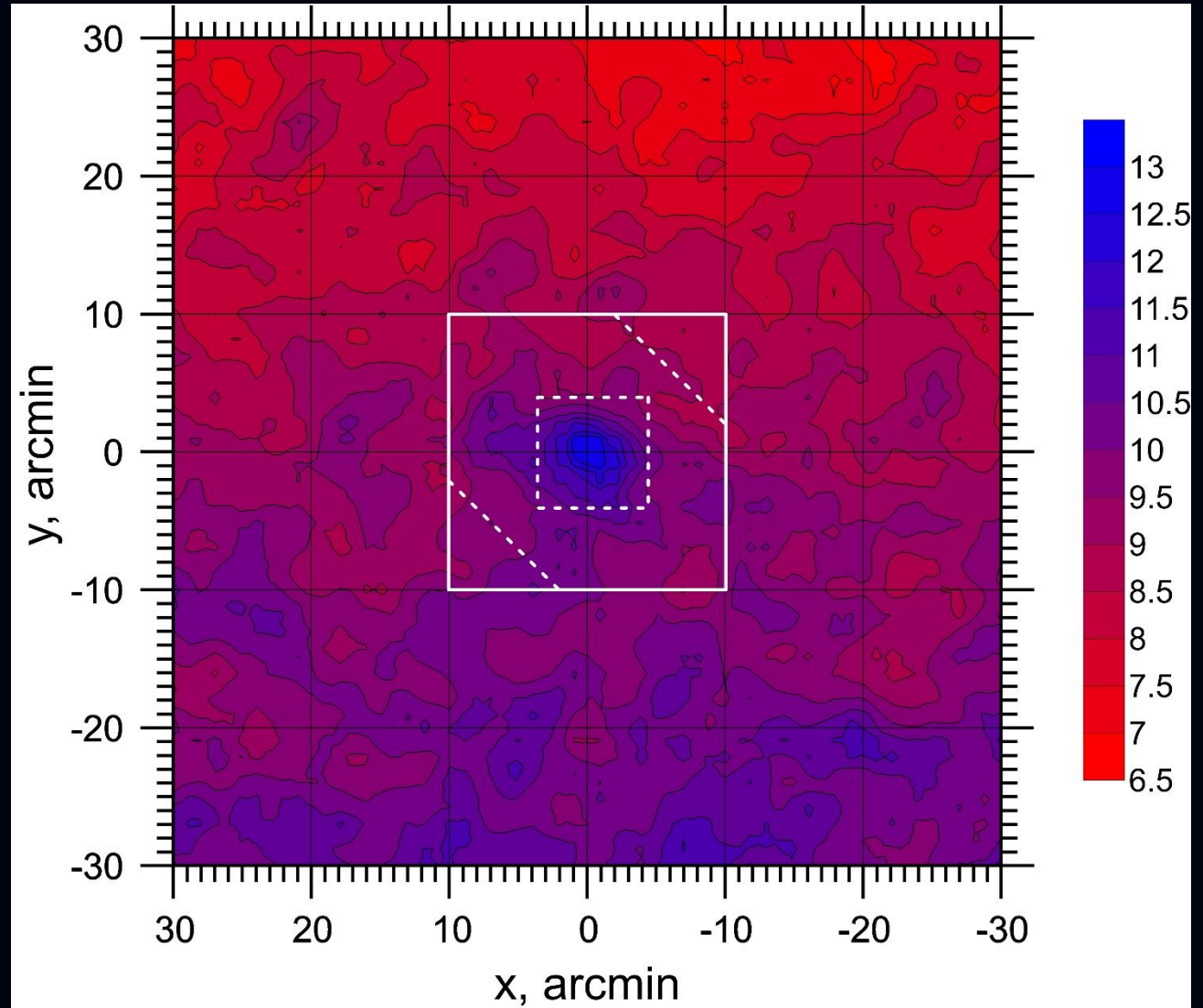
$$S(r) = -\frac{1}{r} \frac{dF(r)}{dr}$$

Пространственная плотность может быть использована, например, для моделирования скопления методом Монте-Карло с целью определения его структурных параметров:

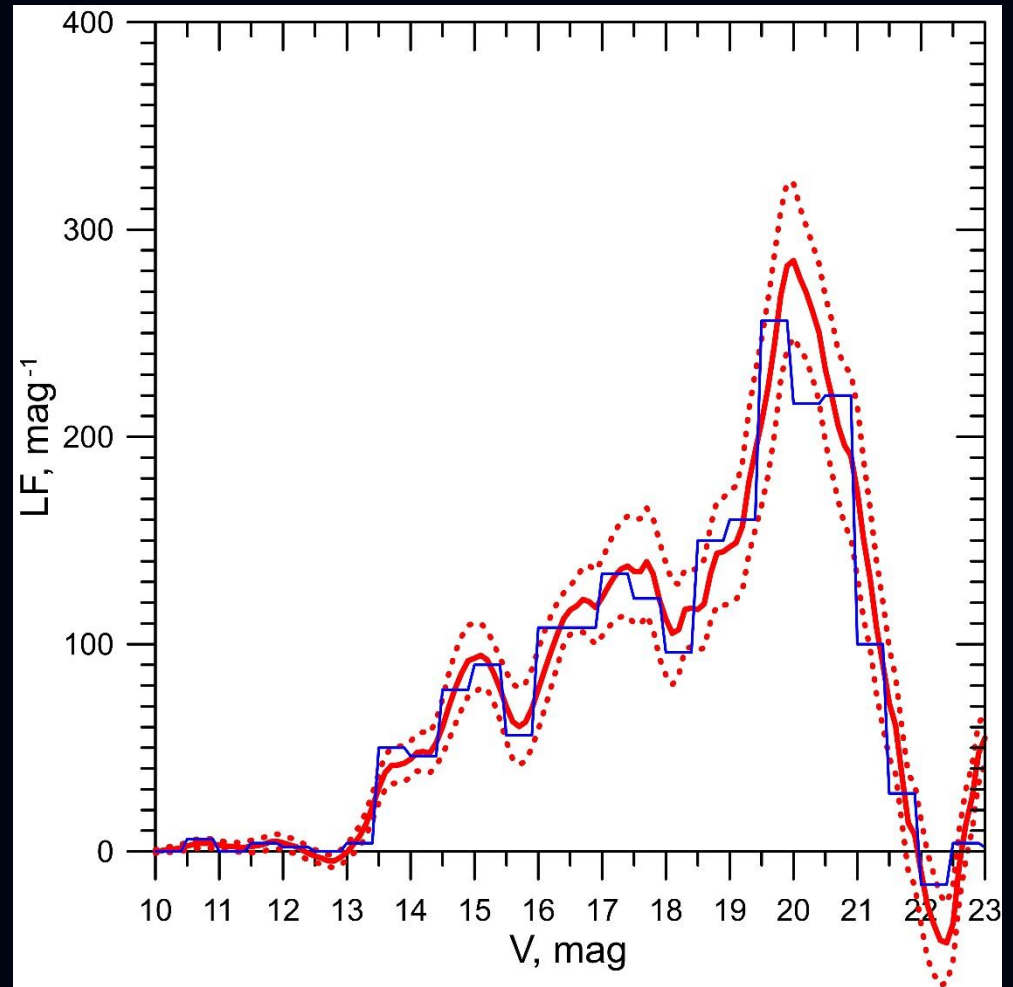
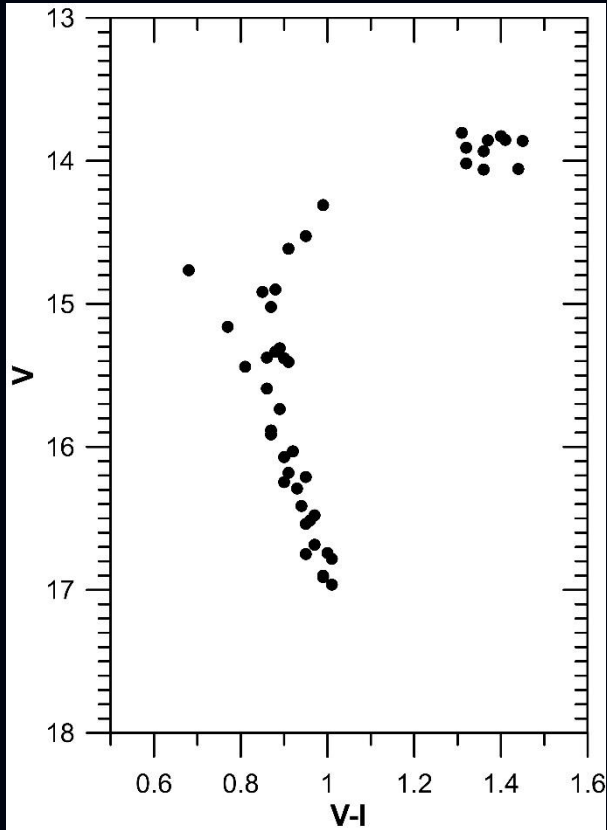
$$\bar{R} = \langle 1/r_{ij} \rangle^{-1} \quad R_u = \langle 1/r_i \rangle^{-1} \quad \langle r^2 \rangle$$

Функция светимости

NGC 4337,
2MASS PSC,
карта
области для
выбора
площадок
сравнения.



Функция светимости



NGC 4337, функция светимости звезд скопления

ФУНКЦИЯ МАСС

$$\psi(m) = \frac{dn}{dm}$$

$$\int_{m_1}^{m_2} \psi(m) dm = N$$

$$\int_{m_1}^{m_2} \psi(m) m dm = \mathfrak{M}$$

$$\varphi(V) = \frac{dn}{dV}$$

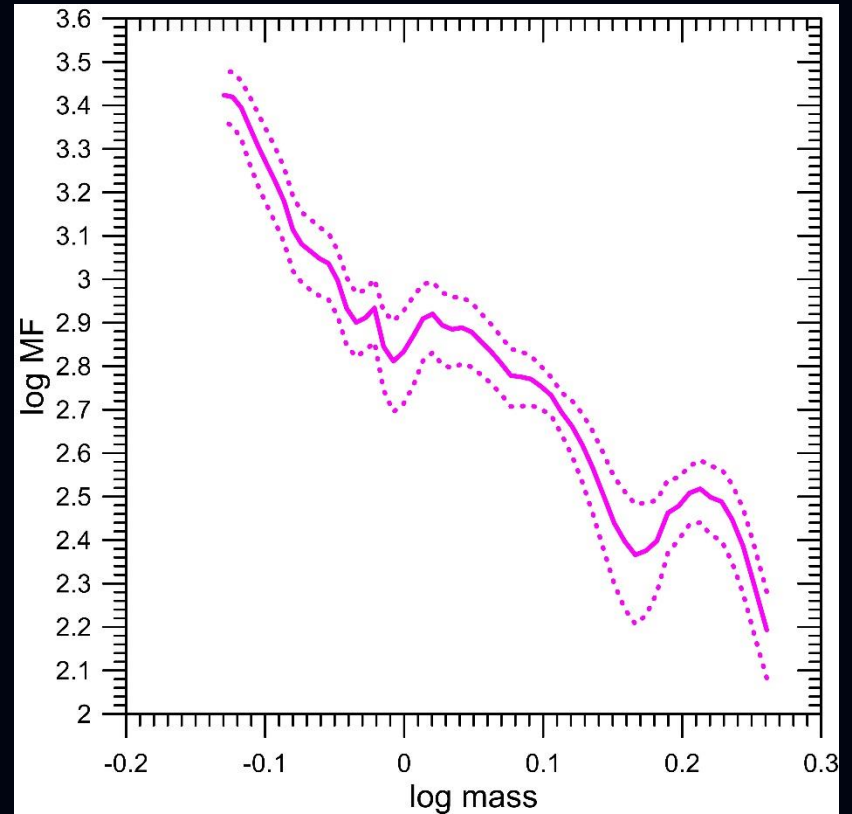
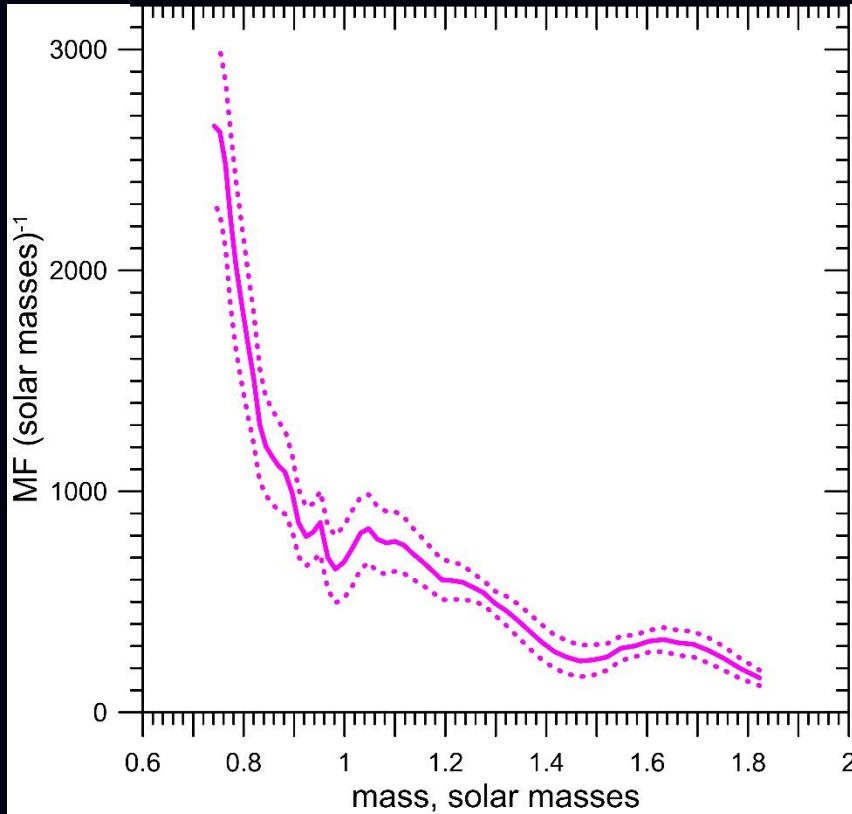
$$\int_{V_1}^{V_2} \varphi(V) dV = N$$

$$m = m(V)$$

$$\psi(m) = \frac{\varphi(V)}{m'_V}$$

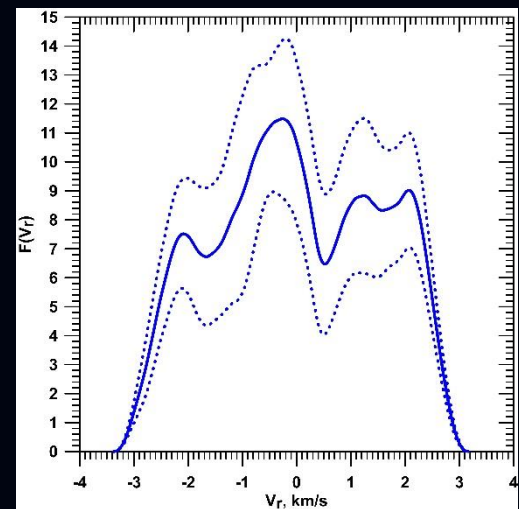
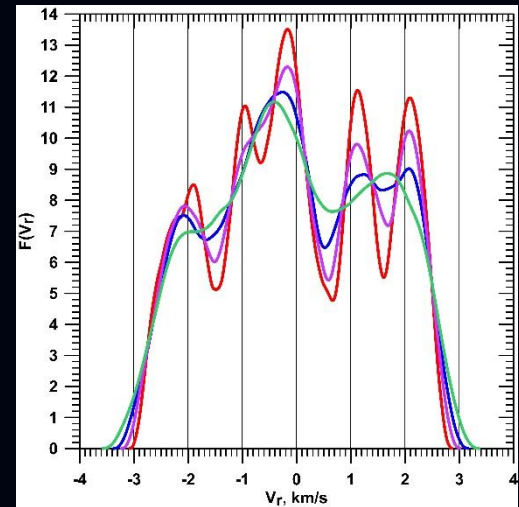
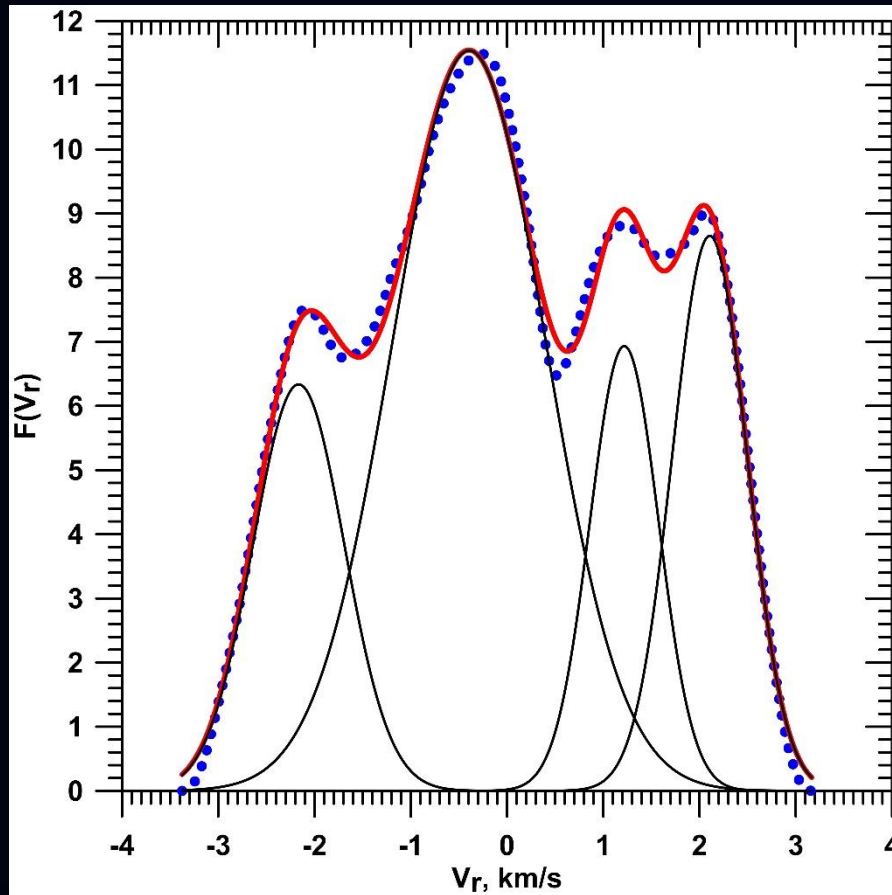
($m(V)$ – соотношение масса-светимость, Padova suite of models, Bressan A. et al., 2012, MNRAS, 427, 127)

Функция масс



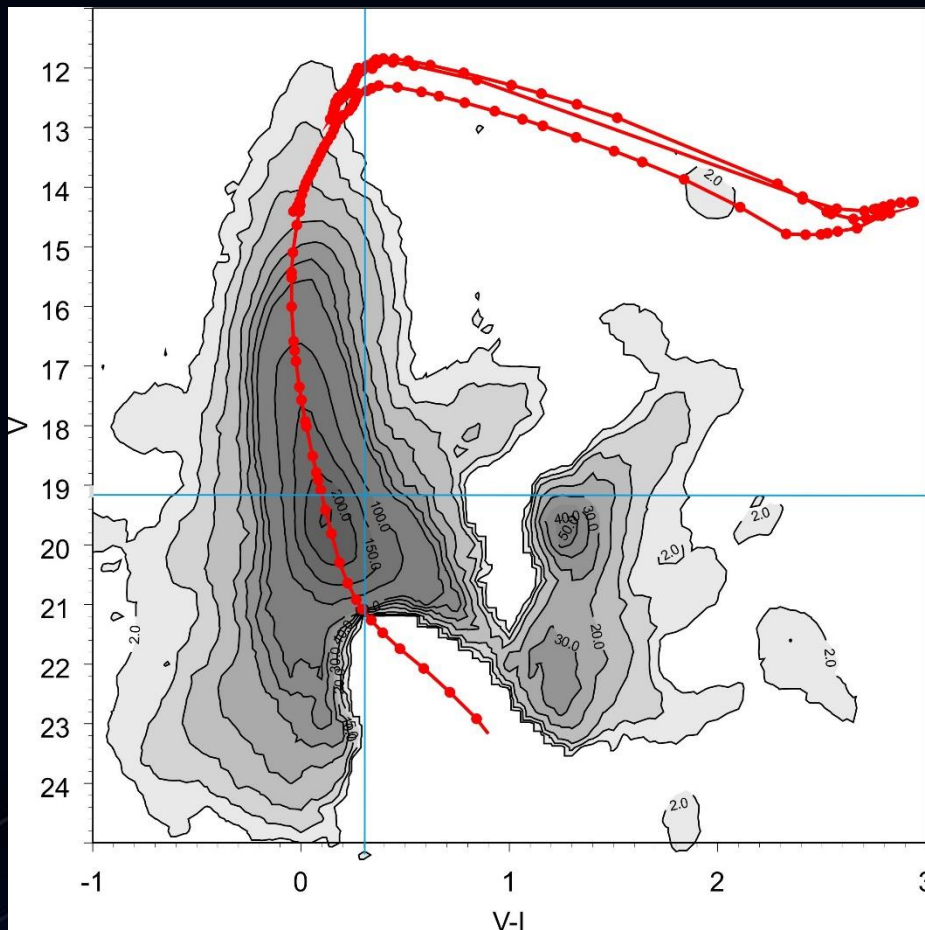
Наклон логарифмической функции масс -2.57 ± 0.10

Функция распределения скоростей

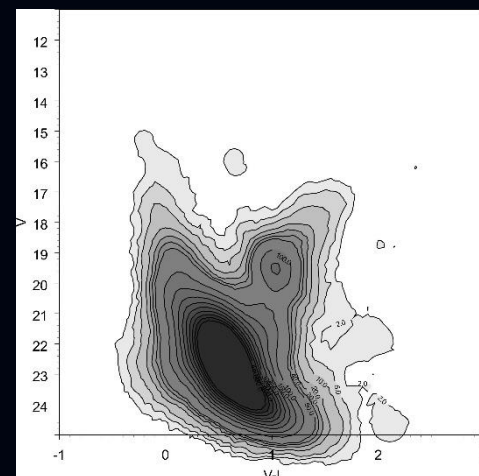
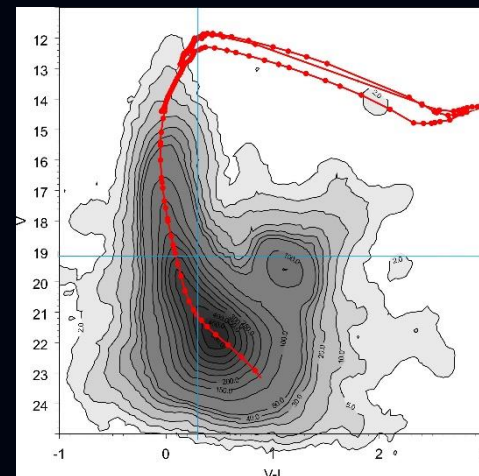


NGC 4337, вероятные члены
скопления, отобранные по
лучевым скоростям

Диаграммы звездная величина – показатель цвета (диаграмма Хесса)



NGC 2100



ВЫВОДЫ

- Метод функции-ядра может быть эффективно использован при решении многих задач звездной астрономии, везде, где необходимо оценивать и использовать функции распределения.
- Получаемые оценки функций распределения являются непрерывными и дифференцируемыми функциями, что очень важно для их использования.
- Написано большое количество программ для различных вариантов использования метода функции-ядра (Fortran), которые я с удовольствием предоставляю вместе с подробными инструкциями.



Спасибо за внимание!

Anton.Seleznev@urfu.ru

